

3.2.7.1. Скорость движения вакуума во внешней оболочке голой «планеты»

Как было упомянуто в предыдущем пункте и показано в п. 2.3.2 зеленой Алсигны [9], информация о движении субконт-антисубконтных токов $\lambda_{6\pm 7}$ -вакуума во внешней оболочке «планеты» содержится в нулевых компонентах метрического тензора из метрик (3.2.35а) – (3.2.35г):

$$g_{00}^{(-a)} = 1 - r_{n1}/r, \quad g_{00}^{(-b)} = 1 + r_{n2}/r, \quad g_{00}^{(+c)} = -1 + r_{n3}/r, \quad g_{00}^{(+d)} = -1 - r_{n4}/r, \quad (3.2.42)$$

где $r_{n1}, r_{n2}, r_{n3}, r_{n4}$ – радиусы четырех сложно-вложенных друг в друга ракий голой «планеты» (см. рис. 3.2.7).

Сопоставляя нулевые компоненты (3.2.42) с (2.3.41) в [9], получим

$$\begin{aligned} 1 - r_{n1}/r &= 1 - v_{r1}^{(-a)2}/c^2 & \text{или} & & r_{n1}/r &= v_{r1}^{(-a)2}/c^2, \\ 1 + r_{n2}/r &= 1 - v_{r2}^{(-b)2}/c^2 & \text{или} & & -r_{n2}/r &= v_{r2}^{(-b)2}/c^2, \\ -1 + r_{n3}/r &= -1 + v_{r3}^{(+c)2}/c^2 & \text{или} & & r_{n3}/r &= v_{r3}^{(+c)2}/c^2, \\ -1 - r_{n4}/r &= -1 + v_{r4}^{(+d)2}/c^2 & \text{или} & & -r_{n4}/r &= v_{r4}^{(+d)2}/c^2. \end{aligned} \quad (3.2.43)$$

Откуда следует

$$v_{r1}^{(-a)2} = c^2 r_{n1}/r \quad \text{или} \quad v_{r1}^{(-a)} = (c^2 r_{n1}/r)^{1/2}, \quad (3.2.44)$$

$$v_{r2}^{(-b)2} = -c^2 r_{n2}/r \quad \text{или} \quad -iv_{r2}^{(-b)} = (c^2 r_{n2}/r)^{1/2}, \quad (3.2.45)$$

$$v_{r3}^{(+c)2} = c^2 r_{n3}/r \quad \text{или} \quad v_{r3}^{(+c)} = (c^2 r_{n3}/r)^{1/2}, \quad (3.2.46)$$

$$v_{r4}^{(+d)2} = -c^2 r_{n4}/r \quad \text{или} \quad -iv_{r4}^{(+d)} = (c^2 r_{n4}/r)^{1/2}. \quad (3.2.47)$$

Это говорит о том, что при двухстороннем рассмотрении во внешней оболочке голой «планеты» в каждом радиальном направлении имеют место четыре внутривакуумных тока. Два из них со скоростями $v_{r2}^{(-b)}$ и $v_{r3}^{(+c)}$ притекают к ядру голой «планеты» из космоса [будем называть их током *a-субконта* и током *c-субконта*]. Два других из них со скоростями $v_{r2}^{(-b)}$ и $v_{r4}^{(+d)}$, напротив, оттекают от ядра голой «планеты» в космос [будем называть их током *b-антисубконта* и током *d-антисубконта*].

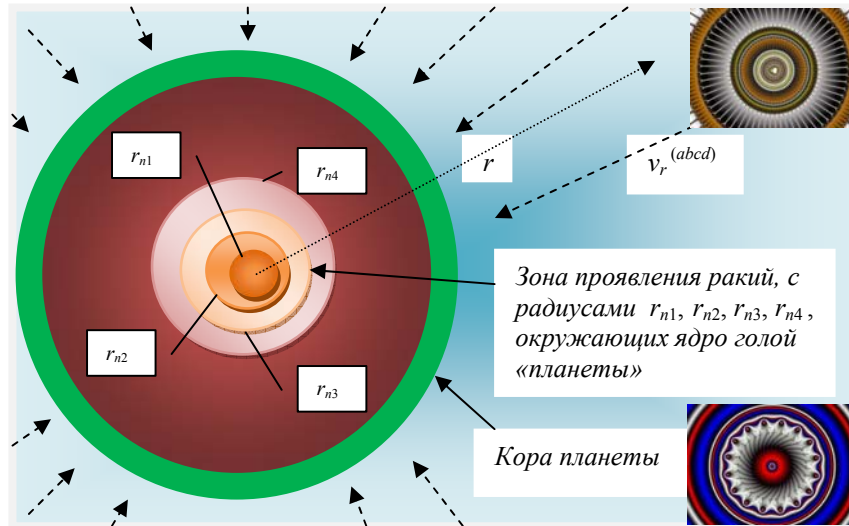


Рис. 3.2.7. Голоя «планета» внутри атомистической оболочки Планеты, где $r_{n1}, r_{n2}, r_{n3}, r_{n4}$ – радиусы 4-х ракий, окружающих ядро голой «планеты»; $v_r^{(abcd)}$ – усредненная скорость стечения $\lambda_{6\pm 7}$ -вакуума к 4-м ракиям с радиусами $r_{n1}, r_{n2}, r_{n3}, r_{n4}$, окружающим ядро голой «планеты»; r – расстояние от центра голой «планеты»

Среднюю скорость $\lambda_{6\pm 7}$ -вакуума, движущегося в радиальном направлении к/от ядра голой «планеты», можно получить, сложив все четыре скорости (3.2.44) – (3.2.47) и поделив получившуюся сумму на 4:

$$v_r^{(abcd)} = \frac{1}{4} [(v_{r1}^{(-a)} + v_{r3}^{(+c)}) - i(v_{r2}^{(-b)} + v_{r4}^{(+d)})]. \quad (3.2.48)$$

Из выражения (3.2.48) видно, что радиальный вакуумный ток, в среднем притекающий к ядру «планеты» из космоса, состоит из двух токов со скоростями

$$v_r^{(ac)} = \frac{1}{2} (v_{r1}^{(-a)} - i v_{r2}^{(-b)}), \quad (3.2.49)$$

$$v_r^{(bd)} = \frac{1}{2} (v_{r3}^{(-a)} - i v_{r4}^{(-b)}). \quad (3.2.50)$$

Комплексность выражений (3.2.49) и (3.2.50) говорит о том, что субконт-антисубконтные токи со скоростями $v_{r1}^{(-a)}$ и $v_{r2}^{(-b)}$, а также $v_{r3}^{(-a)}$ и $v_{r4}^{(-b)}$ всегда взаимно перпендикулярны друг другу. Это означает, что они переплетены в виде двойной спирали, напоминающей двойную спираль молекулы ДНК (см. рис. 3.2.8).

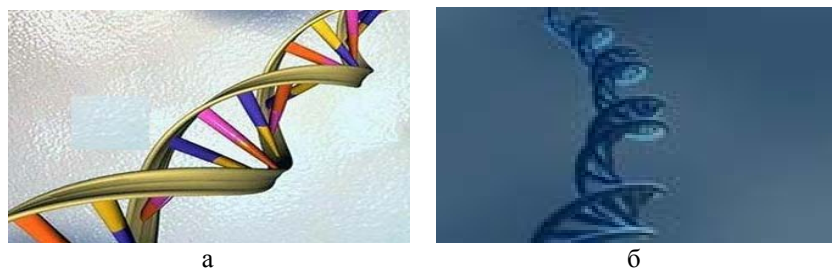


Рис. 3.2.8. а) четыре нити двойной спирали молекулы ДНК;
б) две нити одной спирали молекулы РНК

Другими словами, усредненная линия радиального вакуумного тока, притекающего к ядру голой «планеты», представляет из себя 4-нитевый жгут, состоящий из двух *субконтных* (притекающих) и двух *антисубконтных* (оттекающих) токов (см. рис. 3.2.9а).

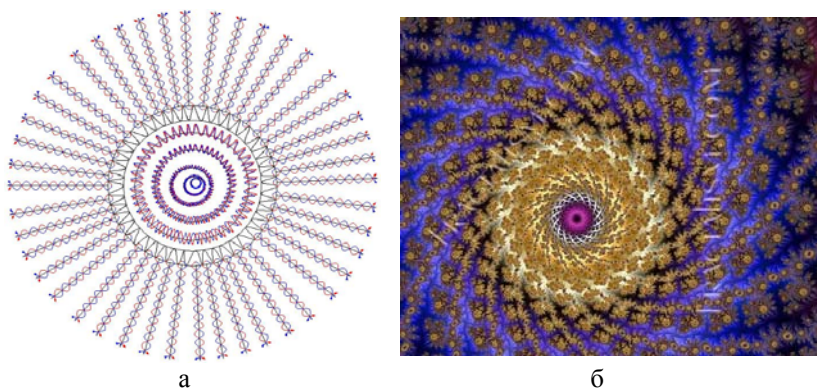
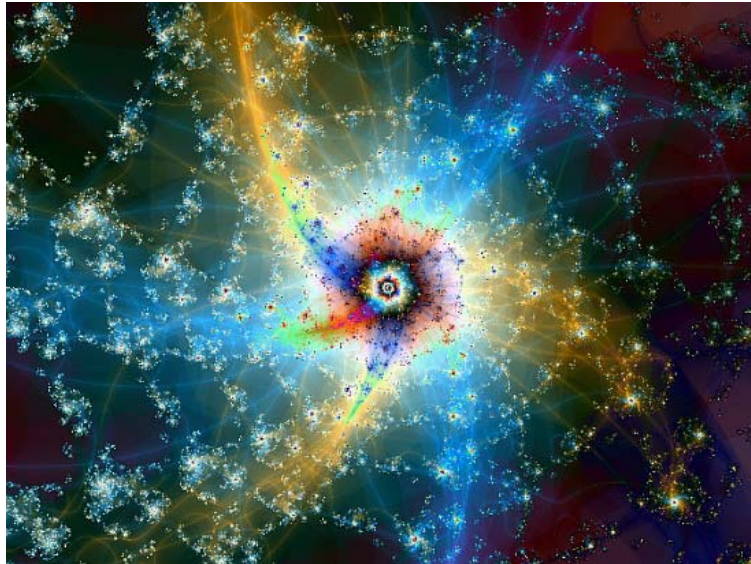
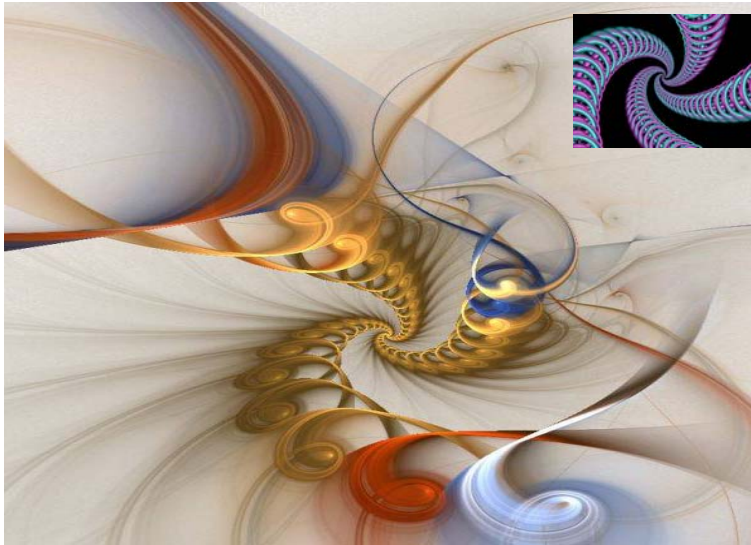


Рис. 3.2.9. а) При двухстороннем рассмотрении линии притекающих (*субконтных*) и оттекающих (*антисубконтных*) токов во внешней оболочке и в ядре голой «планеты» переплетены друг с другом в виде двойных спиралей, подобных двойной спирали молекулы ДНК; б) иллюстрация сложнейших переплетений *субконт - антисубконтных* токов во внешней оболочке и в ракиях, окружающих ядро «планеты», проявляющихся на более глубинном ультральном уровне рассмотрения

Через В. А. Лебедева получена информация, что каждая из четырех нитей *субконт-антисубконтных* токов (3.2.48) является результатом переплетения трех ультральных течений. Поэтому общий *субконт-антисубконтный* жгут состоит из связи $4 \times 3 = 12$ -ти (точнее $12+4=16$ -ти) ультральных внутривакуумных токов. На следующем инферальном уровне рассмотрения внутривакуумные токовые жгуты состоят уже из 256 «цветных» токовых нитей.



<http://braingears.ru/>



<http://allday.ru/>

Иллюстрации вакуумных токов, стекающихся и оттекающих по спиральям к/от ядра голой «планеты» (или «звезды»)



<http://www.horshovsem.ru/>



<http://www.horshovsem.ru/>

Иллюстрация спиральных внутривакуумных токов
на двухстороннем уровне рассмотрения



www.fractal-recursions.com

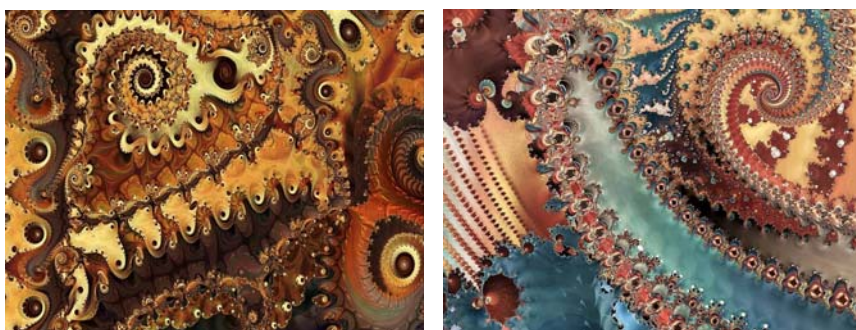


*Природа – Сфинкс. И тем Она верней
Своим Искусством губит человека,
Чем, может статься, некогда от века
Загадки нет и не было у Ней.*

Ф.И. Тютчев



Математический аппарат третьего приближения теории «упругого» вакуума приводит к очень упрощенному представлению об усредненном вакуумном токе, притекающем к ядру голой «планеты» из космоса. В реальности нас пронизывают миллиарды чрезвычайно сложно переплетенных вакуумных токов, иллюстрация которых приведена на рис. 3.2.9 б. Сложный спиральный ковер из этих тончайших токов и придавливает нас и окружающие предметы к твердой атомистической поверхности Земли.



www.fractal-recursions.com

www.fractal-recursions.com

Фрактальные иллюстрации сложнейших переплетений
внутривакуумных течений

Величину модуля усредненной скорости $\lambda_{6\pm 7}$ -вакуумного тока, притекающего к ядру голой «планеты», можно оценить на основании квадратичного усреднения скоростей (3.2.44) – (3.2.47)

$$\left| v_r^{(abcd)} \right| = \frac{1}{2} \sqrt{v_{r1}^{(-a)2} + v_{r3}^{(+c)2} + v_{r2}^{(-b)2} + v_{r4}^{(+d)2}}, \quad (3.2.51)$$

которое, согласно первым выражениям (3.2.44) – (3.2.47), представляется в виде

$$\left| v_r^{(abcd)} \right| = \frac{c}{2} \sqrt{\frac{r_{n1} - r_{n2} + r_{n3} - r_{n4}}{r}}. \quad (3.2.52)$$

Из выражения (3.2.52) следует, что если бы радиусы ракий (оболочек) $r_{n1}, r_{n2}, r_{n3}, r_{n4}$, окружающих ядро голой «планеты», были одинаковыми (т. е. $r_{n1} = r_{n2} = r_{n3} = r_{n4}$), то средняя скорость вакуумного стока $v_r^{(abcd)}$ оказалась бы равной нулю. В этом случае никакого усредненного стечения $\lambda_{6\pm 7}$ -вакуума к ядру голой «планеты» не было. Следовательно, не было бы и увлечения всех материальных образований и к центру Земли.

Из рассматриваемых здесь модельных представлений следует, что «механизм» гравитации обусловлен тем, что притекающие (субконтные) и оттекающие (антисубконтные) токи не только свернуты в 4-жильные (точнее 16-жильные) жгуты вокруг радиальных направлений, но и несколько пространственно сдвинуты относительно друг друга из-за разности радиусов их основных ракий $r_{n1}, r_{n2}, r_{n3}, r_{n4}$.

Пространственно - фазовый сдвиг между притекающими (субконтными) и оттекающими (антисубконтными) спиральными нитями внутривакуумных токов и обуславливает существование

усредненного λ_{6+7} -вакуумного стока к центру голой «планеты». При этом в среднем, сколько субконта притекает к ракиям голой «планеты», столько же антисубконт от них и оттекает, т. е. баланс обменной циркуляции субконт-антисубконтных токов в среднем не нарушается (если Планета не участвует в неких более сложных взаимоотношениях с ее Светилом, или каких-либо иных процессах).

Величина радиусов ракий $r_{n1}, r_{n2}, r_{n3}, r_{n4}$ нашей «планеты» нам не известна, но средняя скорость вакуума $v_r^{(-abcd)}$ (3.2.52) возле атомистической поверхности Земли может быть установлена экспериментально.

Перед обсуждением возможности экспериментальной проверки излагаемой здесь теории вначале рассмотрим свободное падение материального тела в гравитационном поле Земли.

Любое достаточно тяжелое тело, падающее с высоты 1 м, у земной поверхности имеет скорость около 4,42 м/с. Если бы удалось сбросить то же тело с высоты 50 000 м при отсутствии сопротивления воздуха, то его скорость у поверхности Земли была бы равна примерно ~ 100 м/с.

Очевидно, что атомистические тела обладают инерционностью и не сразу приобретают скорость усредненного вакуумного потока, устремленного к центру Земли. Ели бы мы смогли обеспечить падение тела на Землю в безвоздушном пространстве с высоты ~ 10^{10} м, то тогда бы оно начало двигаться практически с усредненным вакуумным стоком без сопротивления, и у поверхности Земли имело бы практически ту же скорость, что и усредненный вакуумный ток. Однако из-за влияния атмосферы поставить такой эксперимент невозможно.

В связи с вышеизложенным для определения усредненной скорости стечения λ_{m+n} -вакуума к ядру голой «планеты» необходимо использовать сущность, котораяносится усредненным λ_{m+n} -вакуумным стоком без сопротивления. Такой сущностью является луч света (или фотон).



Чтобы определить среднюю скорость такого стечения, можно поставить эксперимент, предлагаемый В. А. Ацюковским. Для этого необходимо натянуть 1000-метровую нить по касательной к поверхности Земли, поместить лазер в начало нити, а центр мишени совместить с концом этой нити (рис. 3.2.10).

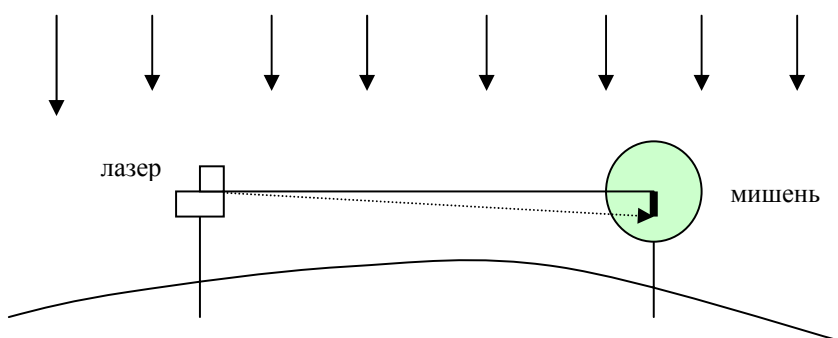


Рис. 3.2.10. Эксперимент, предложенный В. А. Ацюковским [27]

- — горизонтальная нить;
- ⋯ — отклоненный луч света;
- — dl величина отклонения луча света под действием усредненного прилива $\lambda_{m:n}$ -вакуума к ядру планеты

На наш взгляд было бы полезным провести опыт Ацюковского для всех диапазонов пробных волн. Не исключено, что при этом нам удастся нащупать и отекающие составляющие субконт-антисубконтных течений.

Оценим теперь, насколько может отклониться луч лазера при его распространении в стекающемся вглубь Земли λ_{6+7} -вакуумном слое. Рассмотрим распространение одного фотона. Фотон преодолевает расстояние в 1000 метров за промежуток времени

$$\Delta t = \Delta s / c \approx 1000 / (3 \cdot 10^8) \approx 3,3 \cdot 10^{-6} \text{ с.} \quad (3.2.53)$$

Все это время фотон должен сноситься стечением $\lambda_{m:n}$ -вакуума. Если средняя скорость стечения вакуума примерно равна $1,2 \cdot 10^3$ м/с, то на мишени мы должны наблюдать смещение пятна от лазерного луча относительно центра мишени на величину порядка

$$\Delta l = v \Delta t \approx 1,2 \cdot 10^3 \cdot 3,3 \cdot 10^{-6} \approx 3,96 \cdot 10^{-3} \text{ м} \approx 0,4 \text{ см.} \quad (3.2.54)$$

Измерить смещение луча света в гравитационном поле Земли можно так же с помощью интерферометра Майкельсона, если установить данный интерферометр перпендикулярно поверхности земли.

Для примера оценим скорость притекающего из космоса *субконтного* тока $v_{r1}^{(-a)}$ возле населенной нами поверхности Планеты Земля на основании выражения (3.2.44)

$$v_{r1}^{(-a)} = c (r_{n1} / r)^{1/2}. \quad (3.2.55)$$

Условно примем, что радиус первой ракии нашей «планеты» равен четыреста километрам ($r_{n1} = 400$ км). Радиус поверхности Земли приближенно равен $r \approx 6400$ км. Подставляя эти значения в выражение (3.2.55), получим

$$v_{r1}^{(-a)} \approx 3 \cdot 10^8 (400 / 6400)^{1/2} \approx 7,5 \cdot 10^7 \text{ м/с}. \quad (3.2.56)$$

Если $r_{n1} = 200$ м, то согласно (3.2.55) возле атомистической поверхности нашей Планеты имеем

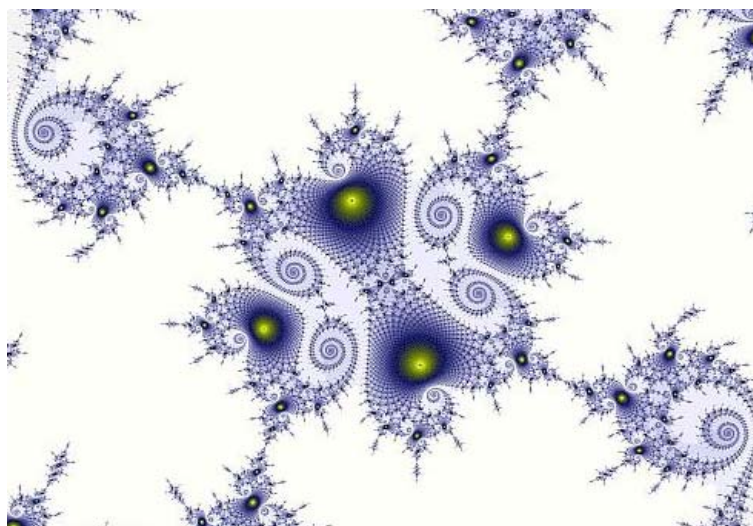
$$v_{r1}^{(-a)} \approx 3 \cdot 10^8 (200 / 6\,400\,000)^{1/2} \approx 1,8 \cdot 10^6 \text{ м/с}. \quad (3.2.57)$$

В любом случае, согласно модельным представлениям Алсигны, скорость пронизывающего нас сверху *субконтного* тока очень велика (всего на два порядка меньше скорости света). Если бы этот ток не был практически полностью скомпенсирован *антисубконтным* током, оттекающим от недр нашей Планеты, то все наше окружение было бы просто раздавлено таким колоссальным стечением внутривакуумного тока.



<http://blogs.academ.org/>

Давление внутривакуумного стока

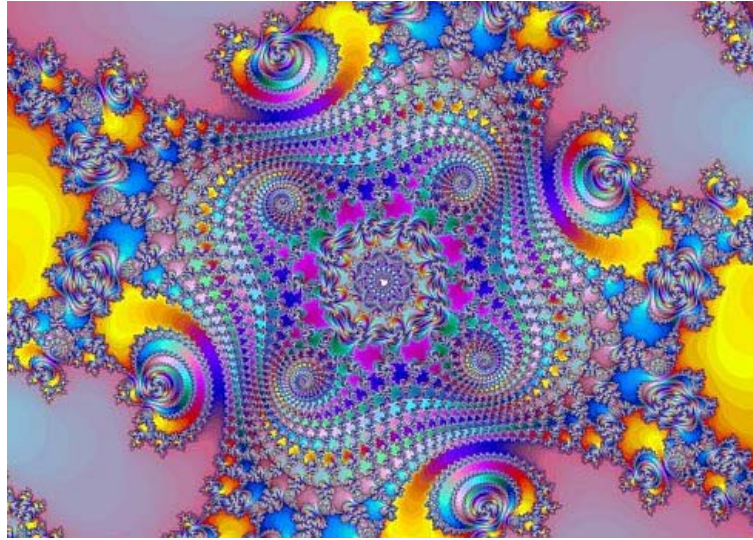


www.fractopolis.com

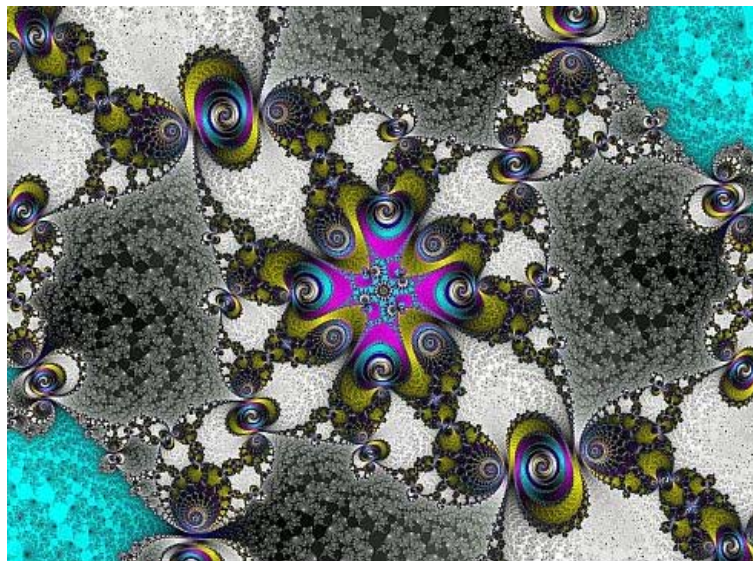


<http://blogs.privet.ru/>

Попытка визуализировать сложные
переплетения внутривакуумных течений



www.fractopolis.com



www.fractopolis.com

Фрактальные иллюстрации токовых переплетений
в околопланетарном окружении